

# ***Compiler für Eingebettete Systeme (CfES)***

Sommersemester 2009

Dr. Heiko Falk

Technische Universität Dortmund

Lehrstuhl Informatik 12

Entwurfsautomatisierung für Eingebettete Systeme

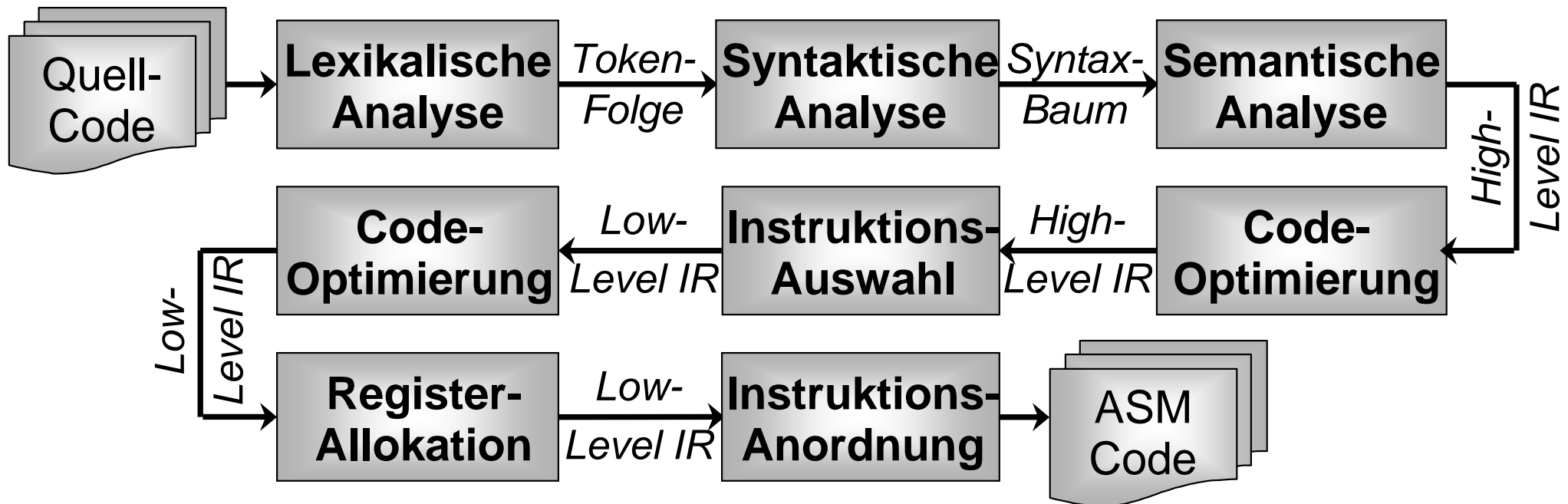
# ***Kapitel 5***

## ***Instruktionsauswahl***

# Gliederung der Vorlesung

- Kapitel 1: Compiler für Eingebettete Systeme
- Kapitel 2: Interner Aufbau von Compilern
- Kapitel 3: Prepass-Optimierungen
- Kapitel 4: HIR Optimierungen und Transformationen
- **Kapitel 5: Instruktionsauswahl**
  - Einführung
    - Baum-Überdeckung mit Dynamischer Programmierung
    - Graph-basierte Instruktionsauswahl
- Kapitel 6: LIR Optimierungen und Transformationen
- Kapitel 7: Register-Allokation
- Kapitel 8: Compiler zur WCET<sub>EST</sub>-Minimierung
- Kapitel 9: Ausblick

# Rolle der Instruktionauswahl



## Instruktionauswahl:

- Auswahl von Maschinenbefehlen zur Implementierung der IR
- “Herz” des Compilers, das eigentliche Übersetzung von Quell- in Zielsprache vornimmt

# Funktion und Ziele

## Synonyme:

*Instruktionsauswahl, Code-Selektion und Code-Generierung werden gleichbedeutend verwendet.*

## Ein- & Ausgabe der Instruktionsauswahl:

- Eingabe: Eine zu übersetzende Zwischendarstellung *IR*
- Ausgabe: Ein Programm  $P(IR)$  (meist in *Assembler- oder Maschinencode, oft auch eine andere IR*)

## Randbedingungen der Instruktionsauswahl:

- $P(IR)$  muß semantisch äquivalent zu *IR* sein
- $P(IR)$  muß effizient hinsichtlich einer Zielfunktion sein

# Datenflußgraphen

## Was genau ist “semantische Äquivalenz zu IR”...?

$P(IR)$  muß zu  $IR$  äquivalenten Datenfluß haben, unter Berücksichtigung der durch den Kontrollfluß festgelegten Abhängigkeiten.

### Definition (*Datenflußgraph*):

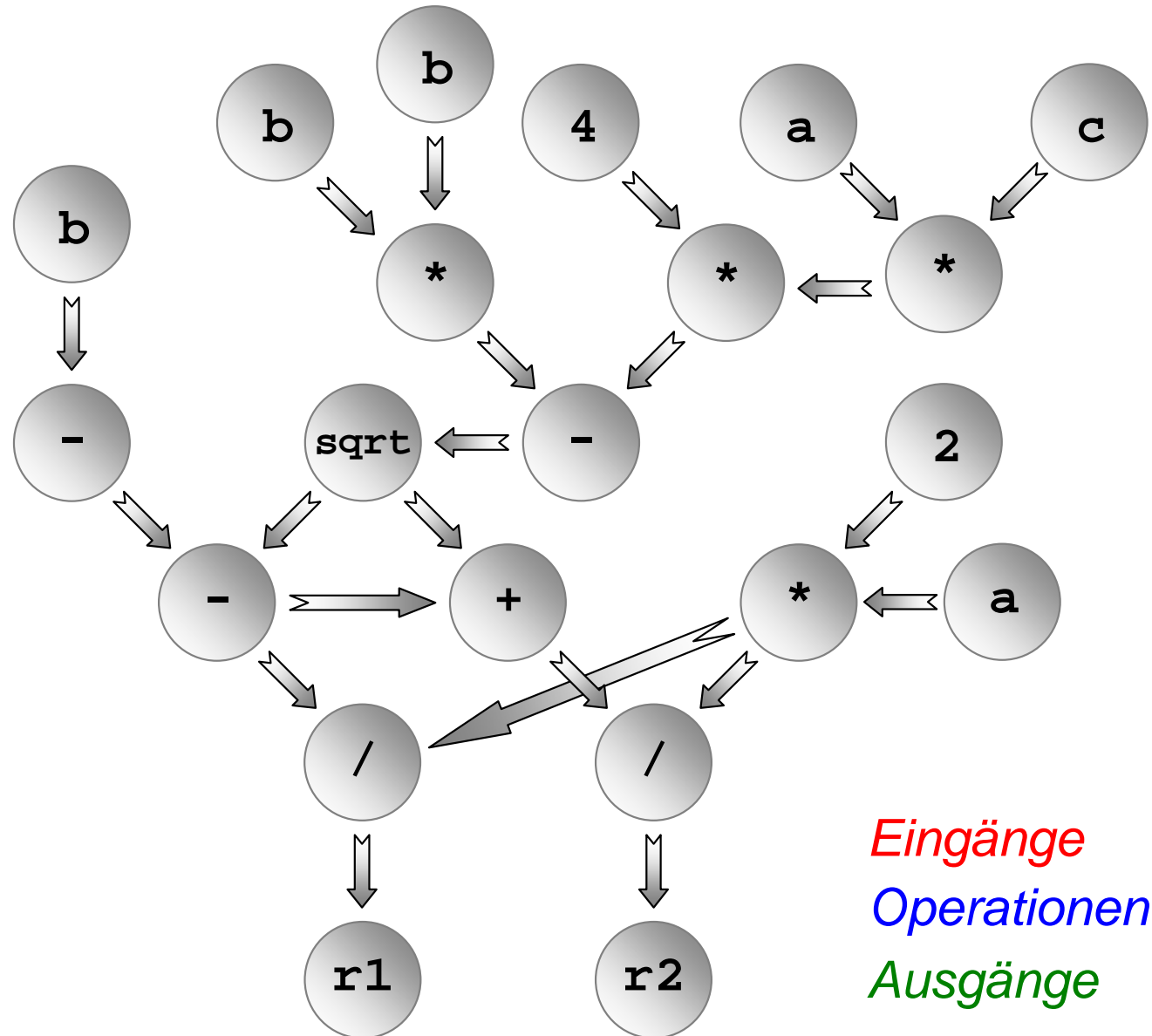
Sei  $B = (I_1, \dots, I_n)$  ein Basisblock. Der *Datenflußgraph* (DFG) zu  $B$  ist ein gerichteter azyklischer Graph  $DFG = (V, E)$  mit

- Knoten  $v \in V$  repräsentiert entweder
  - einen Eingangswert in  $B$  (Eingangsvariable, Konstante)
  - oder eine einzelne Operation innerhalb von  $I_1, \dots, I_n$
  - oder einen Ausgangswert von  $B$
- Kante  $e = (v_i, v_j) \in E \Leftrightarrow v_j$  benutzt von  $v_i$  berechnete Daten

# Beispiel-DFG

```

t1 = a * c;
t2 = 4 * t1;
t3 = b * b;
t4 = t3 - t2;
t5 = sqrt( t4 );
t6 = -b;
t7 = t6 - t5;
t8 = t7 + t5;
t9 = 2 * a;
r1 = t7 / t9;
r2 = t8 / t9;
    
```



# Instruktionsauswahl

## Ziel und Aufgabe:

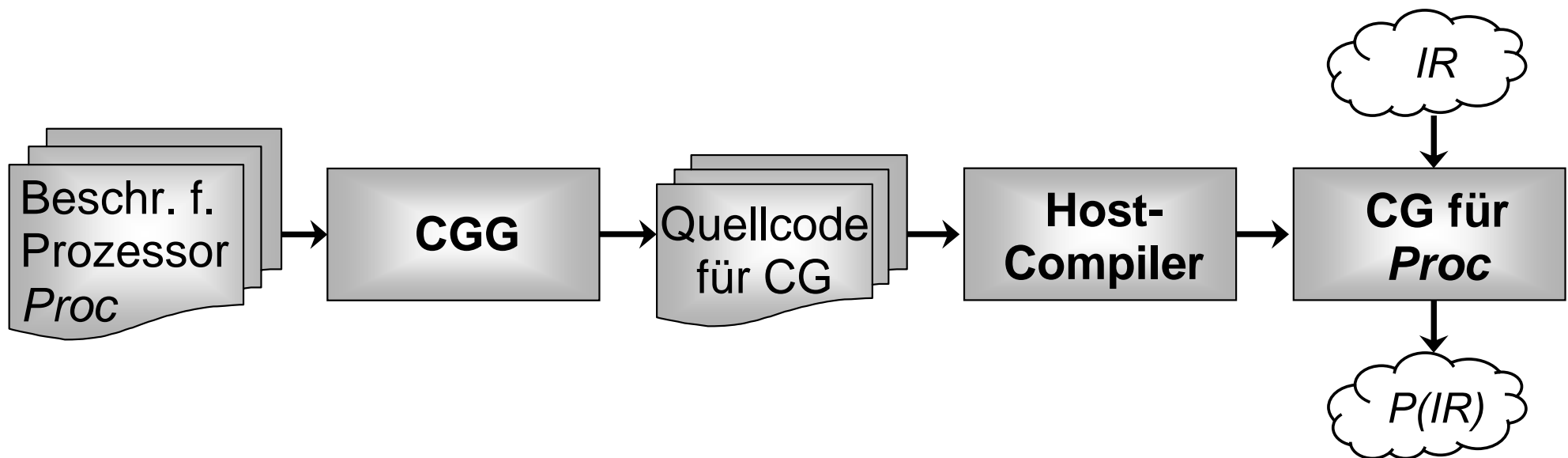
Überdecken der Knoten aller DFGs von *IR* mit semantisch äquivalenten Operationen der Zielsprache.

## Implementierung eines Code-Generators:

- Nicht-triviale, stark vom Ziel-Prozessor abhängige Aufgabe
- Per-Hand-Implementierung eines Code-Generators bei Komplexität heutiger Prozessoren nicht mehr vertretbar
- 👉 Statt dessen: Verwendung sog. *Code-Generator-Generatoren*

# Code-Generator-Generatoren

- Sog. *Meta-Programme*, d.h. Programme, die Programme als Ausgabe erzeugen.
- Ein Code-Generator-Generator (CGG) erhält eine Prozessor-Beschreibung als Eingabe und erzeugt daraus einen Code-Generator (CG) für eben diesen Prozessor.



# Gliederung der Vorlesung

- Kapitel 1: Compiler für Eingebettete Systeme
- Kapitel 2: Interner Aufbau von Compilern
- Kapitel 3: Prepass-Optimierungen
- Kapitel 4: HIR Optimierungen und Transformationen
- **Kapitel 5: Instruktionsauswahl**
  - Einführung
  - Baum-Überdeckung mit Dynamischer Programmierung
  - Graph-basierte Instruktionsauswahl
- Kapitel 6: LIR Optimierungen und Transformationen
- Kapitel 7: Register-Allokation
- Kapitel 8: Compiler zur WCET<sub>EST</sub>-Minimierung
- Kapitel 9: Ausblick

# Tree Pattern Matching (*TPM*)

## Motivation:

- Überdeckung von Datenflußgraphen polynomiell reduzierbar auf 3-SAT

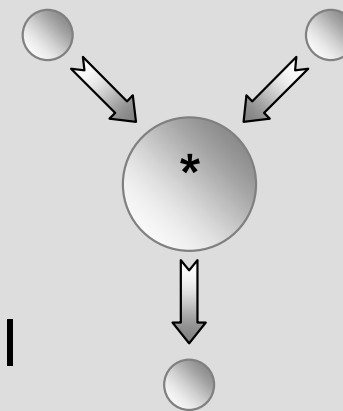
*[J. Bruno, R. Sethi, Code generation for a one-register machine, Journal of the ACM 23(3), Jul 1976]*

- Optimale Instruktionsauswahl ist NP-vollständig...

- **Aber:** Maschinenoperationen üblicher Prozessoren haben typischerweise baumförmigen Datenfluß:

- **Baum-basierte Instruktionsauswahl**

- Optimale baum-basierte Instruktionsauswahl effizient in polynomieller Laufzeit lösbar!



# Ablauf des Tree Pattern Matching

## Gegeben:

- Eine zu übersetzende Zwischendarstellung  $IR$

## Vorgehensweise:

- Programm  $P = \emptyset$ ;
- Für jeden Basisblock  $B$  aus  $IR$ :
  - Bestimme Datenflußgraph  $D$  von  $B$
  - Zerlege  $D$  in einzelne Datenflußbäume (DFTs)  $T_1, \dots, T_N$
  - Für jeden DFT  $T_i$ :
    - $P = P \cup \{ \text{Optimaler Code aus Baum-Überdeckung von } T_i \}$
- Gebe  $P$  zurück

# Zerlegung eines DFGs in DFTs

## Definition (*Gemeinsamer Teilausdruck*):

Sei  $DFG = (V, E)$  ein Datenflußgraph.

Ein Knoten  $v \in V$  mit mehr als einer ausgehenden Kante im DFG heißt *Gemeinsamer Teilausdruck (Common Subexpression, CSE)*.

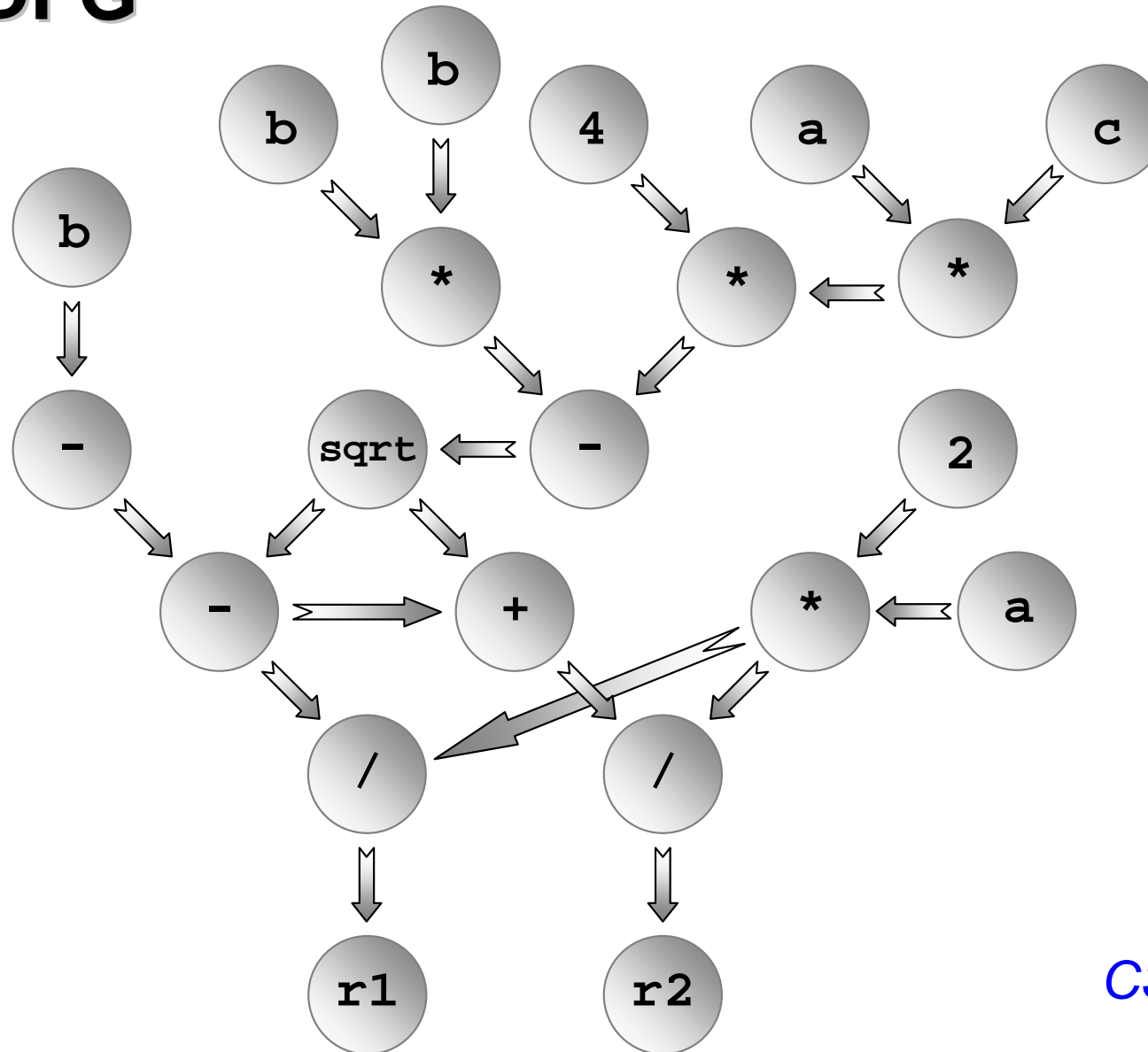
## Definition (*Datenflußbaum*):

Ein Datenflußgraph  $DFG = (V, E)$  ohne CSEs heißt *Datenflußbaum (Data Flow Tree, DFT)*.

## ☞ DFG-Zerlegung:

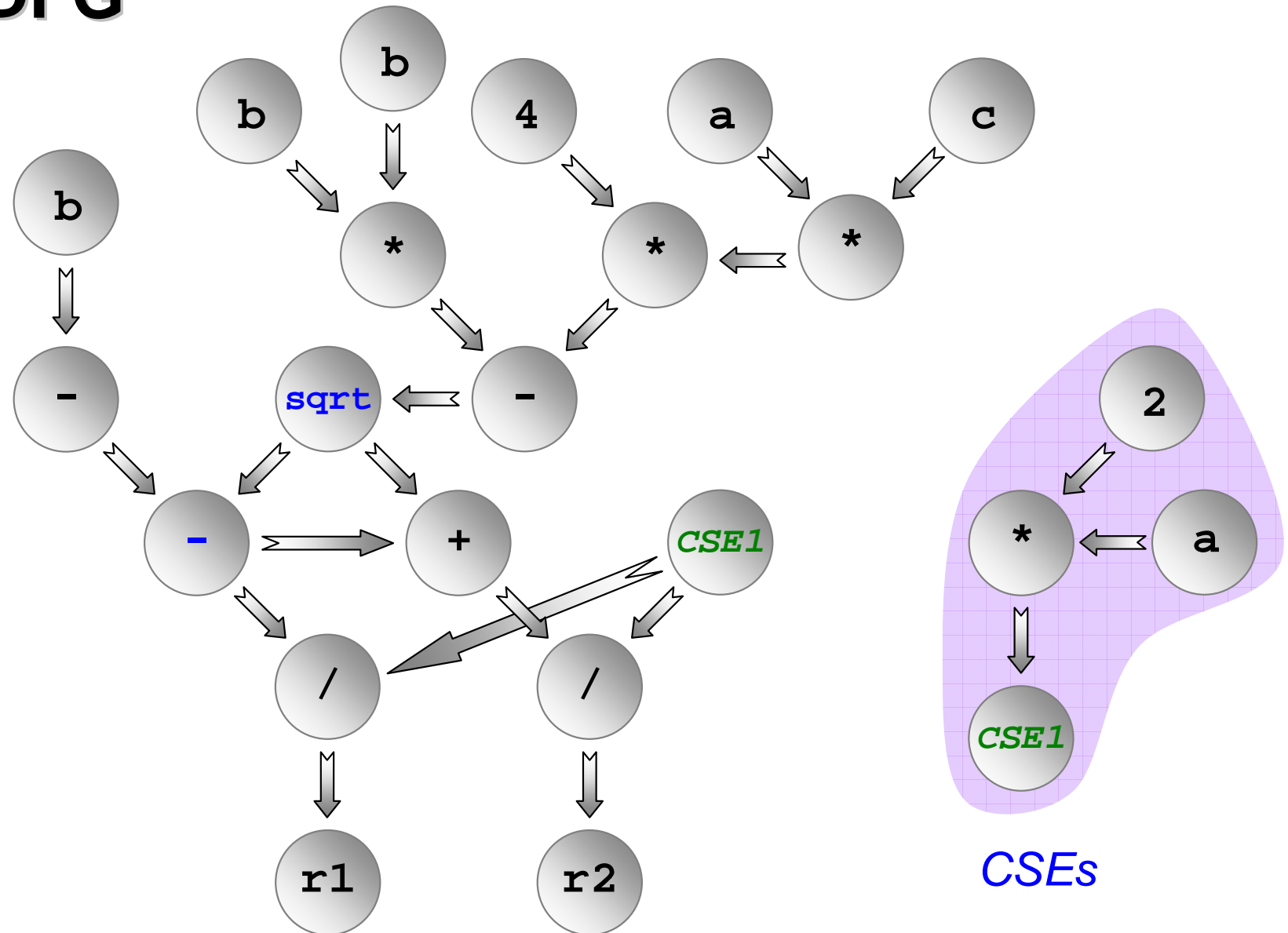
- Aufspaltung des DFGs in DFTs entlang der CSEs.
- Für jede CSE: Hilfsknoten in resultierenden Bäumen einfügen.

# Beispiel-DFG

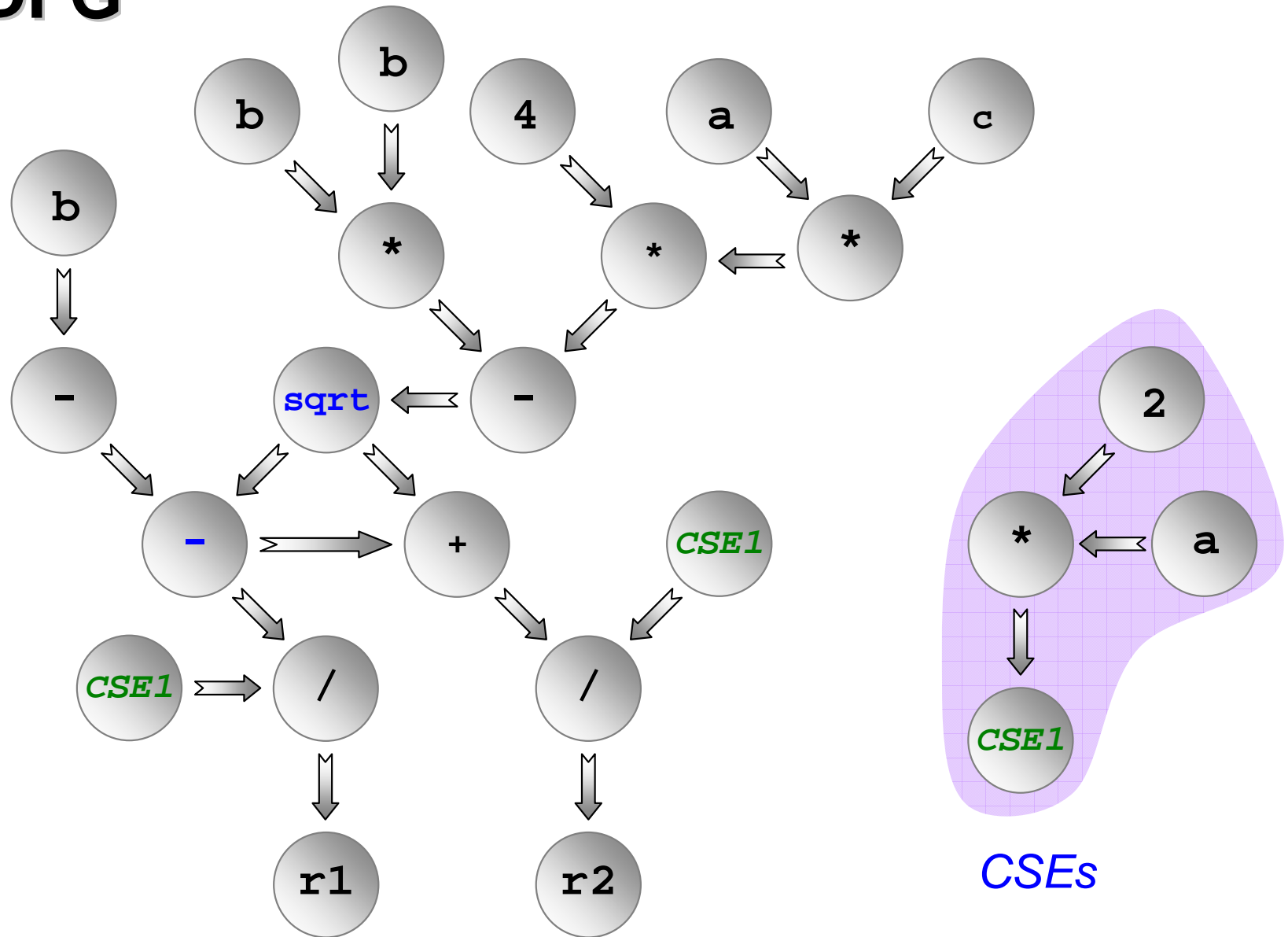


CSEs

# Beispiel-DFG

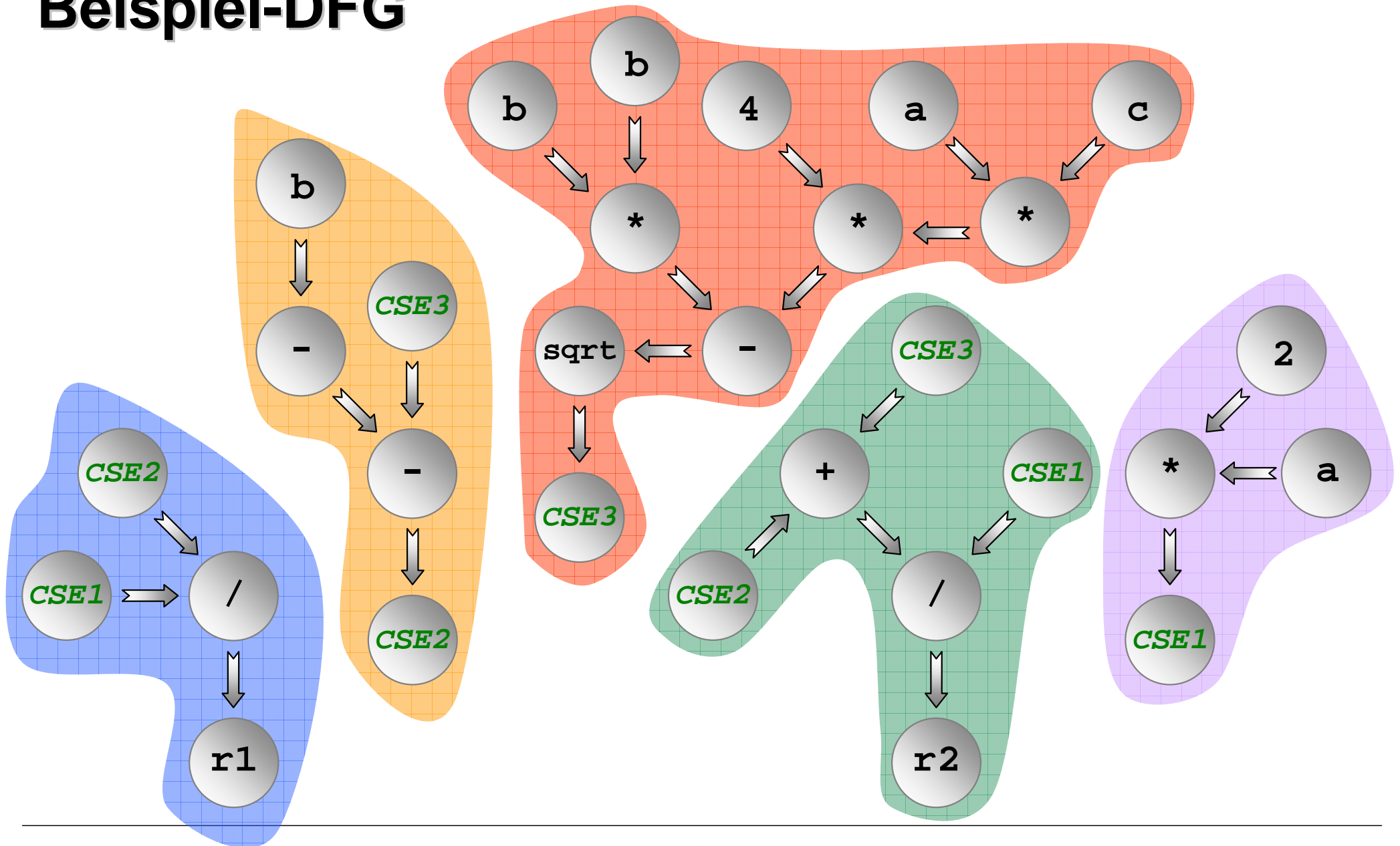


# Beispiel-DFG





# Beispiel-DFG



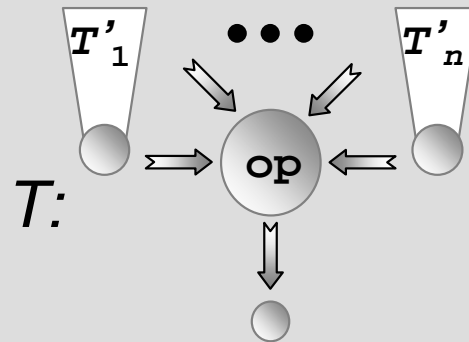
# Baum-Überdeckung (*Tree Cover*)

## Definition (*Baum-Überdeckung durch Operationsfolge*):

Sei  $T = (V, E)$  ein DFT,  $S = (o_1, \dots, o_N)$  eine Folge von Maschinenoperationen. Die letzte Operation  $o_N$  habe das Format  $d \leftarrow \text{op}(s_1, \dots, s_n)$ .  $S'_1, \dots, S'_n$  bezeichne die Teil-Folgen von  $S$ , die jeweils die Operanden  $s_1, \dots, s_n$  von  $O_N$  berechnen.

$S$  überdeckt  $T$  genau dann, wenn

- Operator  $\text{op}$  der Wurzel von  $T$  entspricht,  $T$  sich also wie folgt schreiben läßt:



- und wenn alle  $S'_i$  jeweils  $T'_i$  überdecken ( $1 \leq i \leq n$ ).

# Beispiel für Überdeckungen

## ■ TriCore-Befehlssatz:

add Dc, Da, Db ( $Dc = Da + Db$ )

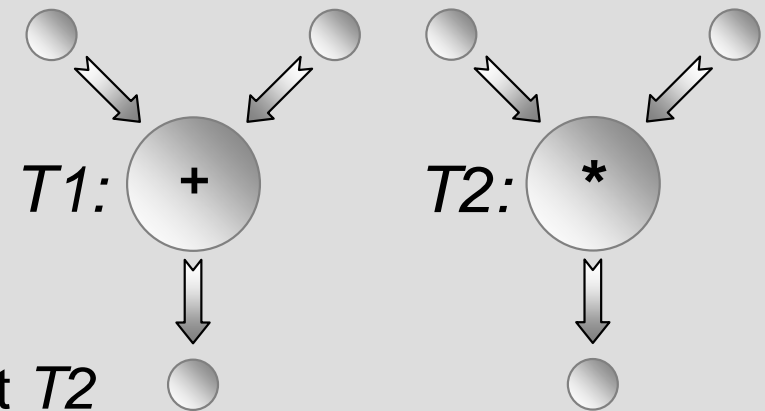
mul Dc, Da, Db ( $Dc = Da * Db$ )

madd Dc, Dd, Da, Db ( $Dc = Dd + Da * Db$ )

☞ Operation `add %d4, %d8, %d9` überdeckt T1

☞ Operation `mul %d10, %d11, %d12` überdeckt T2

## ■ Datenflußbäume:



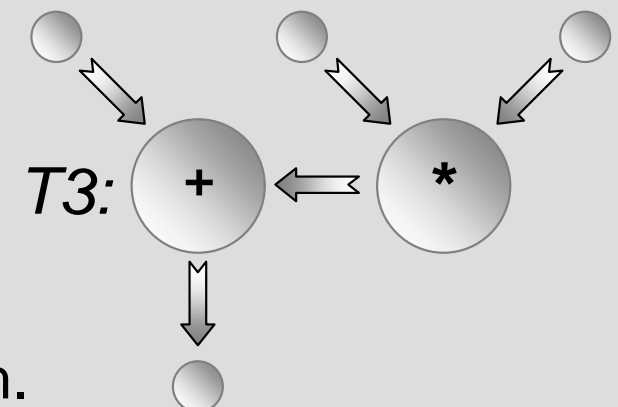
☞ Auch klar: Operationsfolge

mul %d10, %d11, %d12

add %d4, %d8, %d10 überdeckt T3

☞ Zusätzlich: Einelementige Folge

madd %d4, %d8, %d11, %d12 überdeckt T3 auch.



# Tree Pattern Matching Algorithmus (1)

## Gegeben:

- DFT  $T = (V, E)$ , Knoten  $v_0 \in V$  sei Ausgang von  $T$
- Menge  $O$  aller generierbarer Maschinen-Operationen  $o$
- Kostenfunktion  $c: O \rightarrow \mathbb{N}$  (z.B. Größe jeder Operation in Bytes)

## Datenstrukturen:

- Array  $C$ : minimale Kosten pro Knoten  $v \in V$
- Array  $M$ : optimale Maschinen-Operation und optimale Operanden-Reihenfolge pro Knoten  $v \in V$

## Phase 1 – Initialisierung:

- Für alle Knoten  $v \in V$ :  $C[v] = \begin{cases} 0, & \text{falls } v \text{ Eingang von } T \\ \infty & \text{sonst} \end{cases}$
- Für alle Knoten  $v \in V$ :  $M[v] = \emptyset$

## Tree Pattern Matching Algorithmus (2)

### Phase 2 – computeCosts( DFT $T$ ):

- Für alle Knoten  $v \in V$  in Postorder-Folge, ausgehend von  $v_0$ :
  - Sei  $T'$  der Teilbaum von  $T$  mit aktuellem Knoten  $v$  als Wurzel
  - Für alle Operationen  $o \in O$ , die  $T'$  überdecken:

- Zerlege  $T'$  anhand von  $o$  in Teilbäume  $T'_1, \dots, T'_n$  mit jeweiligen Wurzeln  $v'_1, \dots, v'_n$  gemäß Tree Cover-Definition

- Für alle Permutationen  $\pi$  über  $(1, \dots, n)$ :
      - Berechne minimale Kosten für Knoten  $v$ :

$$C[v] = \min( C[v], \sum_{i=1}^n C[v'_{\pi(i)}] + c(o) )$$

(☞ dyn. Programmierung)

$M[v] = \text{Paar } (o, \pi)$ , das zu minimalem  $C[v]$  führt

## Tree Pattern Matching Algorithmus (3)

### Phase 3 – generateCode( DFT $T$ ):

- Sei Knoten  $v \in V$  Wurzel von  $T$
- Operation  $o$  = erstes Element von  $M[v]$
- Permutation  $\pi$  = zweites Element von  $M[v]$
- Zerlege  $T$  anhand von  $o$  in Teilbäume  $T_1, \dots, T_n$  gemäß Tree Cover-Definition
- Für alle  $i = 1, \dots, n$ : generateCode(  $T_{\pi(i)}$  )
- Generiere Code für Operation  $o$

[A. Aho, S. Johnson, *Optimal Code Generation for Expression Trees*,  
*Journal of the ACM* 23(3), Jul 1976]

# Laufzeit-Komplexität von TPM

## Annahme:

- Befehlssatz eines Prozessors sei fest vorgegeben
- ☞ Größe der Menge  $O$  konstant
- ☞ Anzahl der Permutationen  $\pi$  ebenfalls konstant, da die Anzahl von Operanden pro Operation im Befehlssatz konstant ist  
(*typischerweise 2 bis 3 Operanden pro Operation*)

## Kostenberechnung:

- Da Schleifen über alle überdeckenden Operationen und über alle Permutationen nur konstanten Faktor beisteuern:
- ☞ Lineare Komplexität in Größe von  $T$ :  $O(|M|)$

## Code-Generierung:

- Offensichtlich auch lineare Komplexität in Größe von  $T$ :  $O(|M|)$

# Verbleibende Offene Fragen

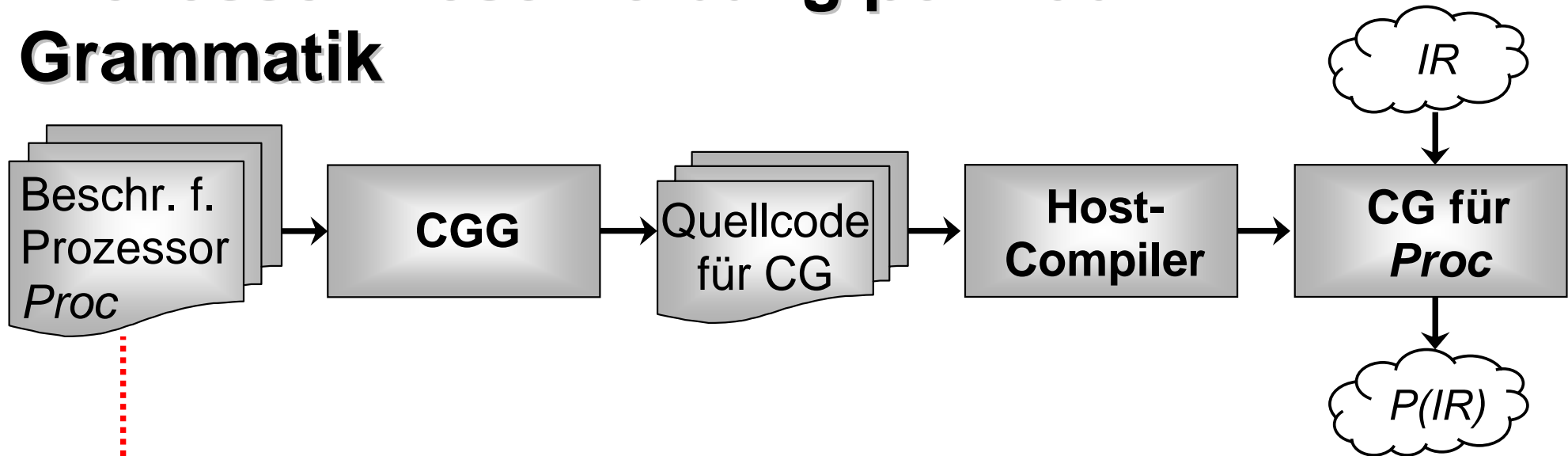
**Präsentierter TPM-Algorithmus generisch formuliert.**

☞ ***Wie wird dieser Algorithmus für einen konkreten Prozessor adaptiert?***

**Zu klärende Detailfragen:**

- Wie ist die Entsprechung eines Operators  $o_p$  mit der Wurzel von  $T$  realisiert (vgl. *Tree Cover-Definition*)?
- In welcher Form erhält der TPM-Algorithmus die Menge  $O$  aller generierbarer Maschinen-Operationen und die Kostenfunktion  $c$ ?
- Wie handhabt TPM die Speicherung der optimalen Maschinen-Operation  $o$  in  $M$  + konkrete Code-Generierung für  $o$ ?

# Prozessor-Beschreibung per Baum-Grammatik



- Grammatik  $G$ , die für Teilbäume eines DFTs Maschinenoperationen generiert
- Jede einzelne Regeln von  $G$  realisiert eine mögliche Überdeckung für einen DFT-Knoten
- Durch Anwendung von Regeln wird also Code abgeleitet
- Jede einzelne Ableitung/Regel verursacht Kosten

# Aufbau der Baum-Grammatik (1)

## Gemäß Code-Generator-Generator *icd-cg*:

- Baum-Grammatik  $G$  besteht aus Regeln  $R_1, \dots, R_r$
- Jede Regel  $R_i$  hat eine *Signatur*, bestehend aus Terminal- und Nichtterminal-Symbolen:
 
$$\langle \text{nonterminal}_{i,0} \rangle : \langle \text{terminal}_{i,1} \rangle ( \langle \text{nonterminal}_{i,2} \rangle, \dots, \langle \text{nonterminal}_{i,n} \rangle )$$

(Angabe von Nichtterminalen in (...) optional)  
(Sog. Kettenregeln  $\langle \text{nonterminal}_{i,0} \rangle : \langle \text{nonterminal}_{i,1} \rangle$  auch legal)
- *Terminale*: mögliche Knoten im DFT  $T$  (z.B. `tpm_binaryExpPLUS`, `tpm_BinaryExpMULT`, ... in ICD-C)
- *Nichtterminale*: i.d.R. prozessorspezifische Speicher-Klassen, wo Quell- & Ziel-Operanden von Operationen abgelegt sein können (z.B. Daten- & Adressregister, Immediate-Konstanten, ...)

## Aufbau der Baum-Grammatik (2)

### Beispiel (anhand von ICD-C & TriCore 1.3):

- Regel

dreg: `tpm_BinaryExpPLUS` ( dreg, dreg )

zuständig für Überdeckung des binären Operators + aus ANSI-C, mit beiden Summanden in Datenregistern und Summe in einem Datenregister.

- Regel

dreg: `tpm_BinaryExpMULT` ( dreg, const9 )

zuständig für Überdeckung des binären Operators \* aus ANSI-C, mit erstem Faktor in Datenregister, zweitem als vorzeichenbehaftetem 9-Bit Immediate-Wert und Produkt in einem Datenregister.

## Aufbau der Baum-Grammatik (3)

### Gemäß Code-Generator-Generator *icd-cg*: (Fortsetzung)

- Terminal- und Nichtterminal-Symbold müssen in Baum-Grammatik  $G$  deklariert sein
- Grundlegender Aufbau des Files zur Beschreibung von  $G$ :

```

%{           // Präambel
%}

%term <terminal1>
%term <terminal2>
...

%declare <nonterminal0>;

%declare <nonterminal1>;
...
%%

Regel1;
Regel2;
...
%%

```

## Aufbau der Baum-Grammatik (4)

### Gemäß Code-Generator-Generator *icd-cg*: (Fortsetzung)

- Die Spezifikation jeder Regel  $R_i$  in der Baum-Grammatik besteht aus Signatur, *Cost*-Teil und *Action*-Teil:

```

<nonterminali,0>: <terminali,1> ( <nonterminali,2>, ...,
                                     <nonterminali,n> )
{
    // Code zur Kosten-Berechnung
}
=
{
    // Code für Action-Teil
};

```

## Aufbau der Baum-Grammatik (5)

### Gemäß Code-Generator-Generator *icd-cg*: (Fortsetzung)

- *Cost*-Teil von  $R_i$  weist **nonterminal** <sub>$i,0$</sub>  Kosten zu, die entstehen, wenn  $R_i$  zur Überdeckung von **terminal** <sub>$i,1$</sub>  benutzt wird.
- *Cost*-Teil kann beliebigen benutzerdefinierten C/C++-Code zur Kostenberechnung enthalten.
- Kosten können z.B. Anzahl erzeugter Maschinen-Operationen, Codegröße, ..., repräsentieren.
- Kosten von  $R_i$  können explizit auf  $\infty$  gesetzt werden, wenn  $R_i$  in speziellen Situationen keinesfalls zur Baum-Überdeckung verwendet werden soll.
- C/C++-Datentyp für Kosten, Kleiner-Als-Vergleich von Kosten und Null- & Unendlich-Kosten sind in Präambel von  $G$  zu deklarieren.

## Aufbau der Baum-Grammatik (6)

### Beispiel (anhand von ICD-C & TriCore 1.3):

```
// Präambel
typedef int COST;
#define DEFAULT_COST 0;
#define COST_LESS(x, y) ( x < y )
COST COST_INFINITY = INT_MAX;
COST COST_ZERO = 0;
...
```

- Deklaration eines simplen Kostenmaßes – identisch mit Typ `int`
- Vergleich von Kosten mit `<` Operator auf Typ `int`
- Default-, Null und  $\infty$ -Kosten auf 0 bzw. max. `int`-Wert gesetzt

## Aufbau der Baum-Grammatik (7)

Beispiel (anhand von ICD-C & TriCore 1.3):

```
dreg: tpm_BinaryExpPLUS( dreg, dreg )
{
    $cost[0] = $cost[2] + $cost[3] + 1;
} = {};
```

- Verwendung des feststehenden Schlüsselworts `$cost[j]` zum Zugriff auf Kosten von `nonterminali,j`
- Kosten für binäres `+` mit Summanden in Datenregistern (`$cost[0]`) gleich Kosten für ersten Operanden (`$cost[2]`) plus Kosten für zweiten Operanden (`$cost[3]`) plus eine weitere Operation (**ADD**)

## Aufbau der Baum-Grammatik (8)

### Gemäß Code-Generator-Generator *icd-cg*: (Fortsetzung)

- *Action*-Teil von  $R_i$  wird ausgeführt, wenn  $R_i$  die Regel mit minimalen Kosten zur Überdeckung von `terminali,1` ist.
- *Action*-Teil kann beliebigen benutzerdefinierten C/C++-Code zur Code-Generierung enthalten.
- Verwendung des feststehenden Schlüsselwortes `$action[j]` zum Ausführen der *Action*-Teile für Operanden `nonterminali,j`
- Nichtterminal-Symbole können mit Parametern und Rückgabewerten in  $G$  deklariert werden, um Werte zwischen *Action*-Teilen von Regeln auszutauschen.

## Aufbau der Baum-Grammatik (9)

### Beispiel (anhand von ICD-C & TriCore 1.3):

```
dreg: tpm_BinaryExpPLUS( dreg, dreg ) {}={
    if (target.empty()) target = getNewRegister();
    string r1($action[2]()), r2($action[3]());
    cout << "ADD " << target << ", " << r1
         << ", " << r2 << endl;
    return target;
};
```

- Zuerst Bestimmung des Registers für Ziel-Operanden
- Danach Code-Generierung für beide Operanden, inkl. Übergabe der Register `r1` und `r2`, in denen beide Operanden liegen
- Zuletzt Code-Generierung für Addition

## Aufbau der Baum-Grammatik (10)

**Beispiel (anhand von ICD-C & TriCore 1.3):**

```
%declare<string> dreg<string target>;
```

- Deklaration eines Nichtterminals für Datenregister
- Ein string kann in Parameter `target` übergeben werden, um einem Action-Teil vorzugeben, in welchem Datenregister dieser seinen Ziel-Operanden abzulegen hat.
- Ein Action-Teil kann einen string zurückliefern, der das Datenregister bezeichnet, in dem dieser seinen Ziel-Operanden abgelegt hat.

# Baum-Überdeckung & Baum-Grammatik

## Baum-Überdeckung:

Eine Regel  $R_i$  aus  $G$  mit Signatur

$$\langle \text{nonterminal}_{i,0} \rangle : \langle \text{terminal}_{i,1} \rangle ( \langle \text{nonterminal}_{i,2} \rangle , \dots , \langle \text{nonterminal}_{i,n} \rangle )$$

überdeckt einen DFT  $T$  genau dann, wenn

- es Regeln in  $G$  gibt, die jeweils Teil-Baum  $T'_j$  überdecken und jeweils ein Nichtterminal-Symbol der Klasse  $\langle \text{nonterminal}_{i,j} \rangle$  erzeugen ( $1 \leq j \leq n$ ), und
- die Kosten von  $R_i$  kleiner als  $\infty$  sind.

# TPM-Algorithmus & Baum-Grammatik

**Phase 1 – Initialisierung:** *Unverändert*

**Phase 2 – Kostenberechnung:**

- Anstatt alle Operationen  $o \in O$  zu bestimmen, die Teilbäume  $T'$  überdecken:
- ☞ Bestimme Menge  $R'$  aller Regeln  $R_i \in G$ , die  $T'$  überdecken
- ☞ Berechne  $C[v]$  wie ursprünglich, lediglich unter Ausführung des Codes der *Cost*-Teile aller Regeln aus  $R'$
- ☞ Speichere in  $M[v]$  die Regel  $R^{opt} \in R'$  mit minimalem  $C[v]$

**Phase 3 – Code-Generierung:**

- Für Wurzel  $v_0 \in T$ : Rufe *Action*-Teil der optimalen Regel  $M[v_0]$  auf
- In *Action*-Teile eingebettete `$action[ ]`-Aufrufe beziehen sich stets auf die *Action*-Teile der jeweils kostenoptimalen Regel  $R^{opt}$

# Komplexeres Beispiel (1)

```
dreg: tpm_BinaryExpPLUS( dreg, dreg ) {
    $cost[0] = $cost[2] + $cost[3] + 1;
}= {
    if ( target.empty() ) target = getNewRegister();
    string r1( $action[2]("") ), r2( $action[3]("") );
    cout << "ADD " << target << ", " << r1 << ", " << r2 << endl;
    return target;
};
dreg: tpm_BinaryExpMULT( dreg, dreg ) {
    $cost[0] = $cost[2] + $cost[3] + 1;
}= {
    if ( target.empty() ) target = getNewRegister();
    string r1( $action[2]("") ), r2( $action[3]("") );
    cout << "MUL " << target << ", " << r1 << ", " << r2 << endl;
    return target;
};
```

## Komplexeres Beispiel (2)

```
dreg: tpm_SymbolEXP {
    $cost[0] = $1->getExp()->getSymbol().isGlobal() ?
        COST_INFINITY : COST_ZERO;
}= {
    target = "r_" + $1->getExp()->getSymbol().getName();
    return target;
};
```

- Regel weist lokalen Variablen im DFT  $T$  ein virtuelles Register zu
- $\$1$  ist der durch Terminal-Symbol zu überdeckende Knoten von  $T$
- $\$1 \rightarrow \text{getExp}() \rightarrow \text{getSymbol}()$  liefert das Symbol / die Variable der IR
- Im Fall globaler Variablen liefert diese Regel Kosten  $\infty$  zurück
- Für lokale Variablen: Kosten 0, da kein Code erzeugt wird.

## Komplexeres Beispiel (3)

C-Fragment  $a + (b * c)$  mit DFT  $T$   
wird durch Regeln

dreg: `tpm_SymbolExp`

dreg: `tpm_BinaryExpPLUS ( dreg, dreg )`

dreg: `tpm_BinaryExpMULT ( dreg, dreg )`

überdeckt.

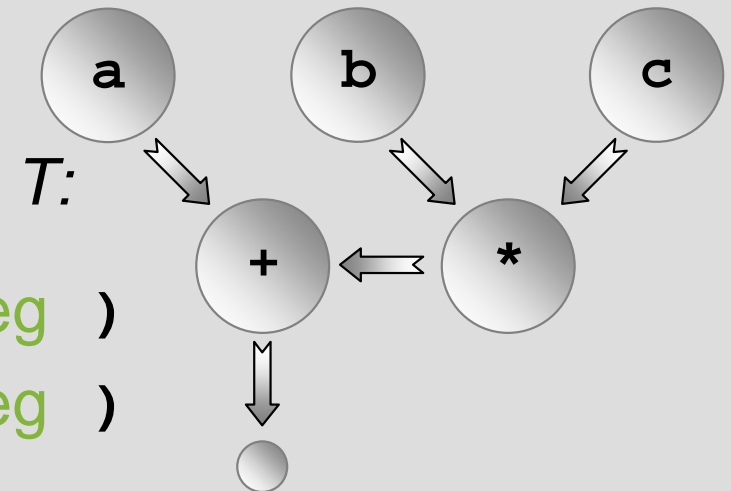
Kosten für  $T$ :

$$C[+] = C[a] + C[*] + 1 = C[a] + (C[b] + C[c] + 1) + 1 = 2$$

Generierter Code für  $T$ :

```
MUL r_0, r_b, r_c
```

```
ADD r_1, r_a, r_0
```



## Komplexeres Beispiel (4)

```
typedef pair<string, string> regpair;
%declare<regpair> virtmul;

virtmul: tpm_BinaryExpMULT( dreg, dreg ) {
    $cost[0] = $cost[2] + $cost[3];
}= {
    string r1( $action[2]("") ), r2( $action[3]("") );
    return make_pair( r1, r2 );
};
```

- Neues Nichtterminal `virtmul` repräsentiert Multiplikation in  $T$ , für die aber nicht direkt Code generiert werden soll
- Statt Code-Generierung wird ein Register-Paar zurückgegeben, das speichert, wo die Operanden der Multiplikation liegen
- Mangels Code-Generierung:  $C[v] = \text{Summe d. Operanden-Kosten}$

## Komplexeres Beispiel (5)

```
dreg: tpm_BinaryExpPLUS( dreg, virtmul ) {
    $cost[0] = $cost[2] + $cost[3] + 1;
}= {
    if ( target.empty() ) target = getNewRegister();
    string r1( $action[2]("") );
    regpair rp( $action[3]() );
    cout << "MADD " << target << "," << r1 << "," << rp.first
        << "," << rp.second << endl;
    return target;
};
```

- Regel aktiv, falls zweiter Summand virtuelle Multiplikation ist
- Dann wird Register-Paar des Nichtterminals **virtmul** angefordert und eine kombinierte **MADD**-Operation generiert

## Komplexeres Beispiel (6)

C-Fragment  $a + (b * c)$  mit DFT  $T$   
wird nun zusätzlich durch Regeln

**dreg:** `tpm_SymbolExp`

**virtmul:** `tpm_BinaryExpMULT( dreg, dreg )`

**dreg:** `tpm_BinaryExpPLUS( dreg, virtmul )`

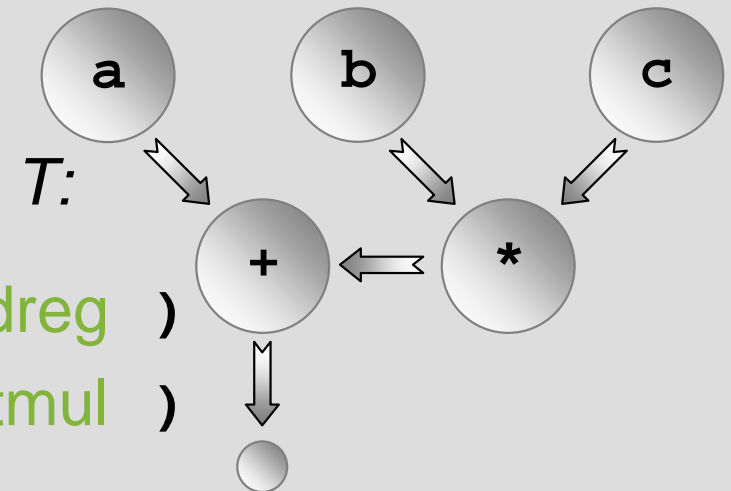
überdeckt.

Kosten für  $T$ :

$$C[+] = C[a] + C[*] + 1 = C[a] + (C[b] + C[c]) + 1 = 1$$

Generierter Code für  $T$ :

```
MADD r_0, r_a, r_b, r_c
```



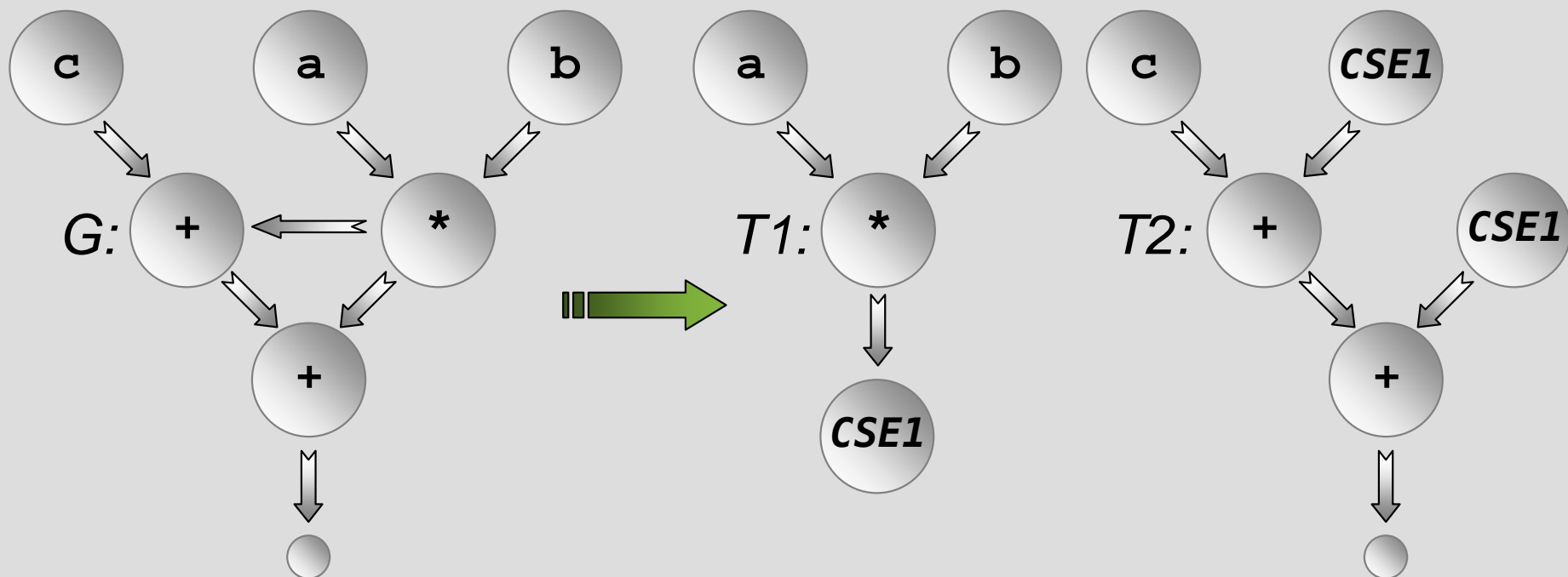
# Gliederung der Vorlesung

- Kapitel 1: Compiler für Eingebettete Systeme
- Kapitel 2: Interner Aufbau von Compilern
- Kapitel 3: Prepass-Optimierungen
- Kapitel 4: HIR Optimierungen und Transformationen
- **Kapitel 5: Instruktionsauswahl**
  - Einführung
  - Baum-Überdeckung mit Dynamischer Programmierung
  - Graph-basierte Instruktionsauswahl
- Kapitel 6: LIR Optimierungen und Transformationen
- Kapitel 7: Register-Allokation
- Kapitel 8: Compiler zur WCET<sub>EST</sub>-Minimierung
- Kapitel 9: Ausblick

# Nachteile von Tree Pattern Matching

## Zerlegung von DFGs in DFTs führt zu sub-optimalem Code:

- Beispiel  $a + (b * c)$  aus vorigem Abschnitt wird durch TPM optimal auf **MADD**-Operation abgebildet.
- Aber was passiert z.B. bei  $e = a*b; \dots (c + e) + e \dots ?$



# Nachteile von Tree Pattern Matching

## Optimale Baum-Überdeckung von $T1$ und $T2$ :

- Würde in insgesamt *drei* Maschinen-Operationen resultieren.
- 1 Multiplikation zur Überdeckung von  $T1$ , 2 Additionen für  $T2$

```
MUL r_0, r_a, r_b
```

```
ADD r_1, r_c, r_0
```

```
ADD r_2, r_1, r_0
```

## Optimale Graph-Überdeckung von $G$ :

- Würde in insgesamt *zwei* Maschinen-Operationen resultieren.
- 2 Multiply-Additionen für  $G$

```
MADD r_0, r_c, r_a, r_b
```

```
MADD r_1, r_0, r_a, r_b
```

# Ansatz 1: Erweiterung von TPM

## Grundlegende Vorgehensweise:

- Beibehaltung von Baum-Grammatiken zur Prozessor-Spezifikation
- Grundlegende Beibehaltung des TPM-Algorithmus mit beiden Phasen der Kostenberechnung und Code-Generierung
- Erweiterung beider Phasen, so daß beim Durchlauf zu überdeckender DFGs jeder Knoten nur einmal besucht wird

*[M. Ertl, Optimal Code Selection in DAGs, Symposium on the Principles of Programming Languages, Jan 1999]*

# Ansatz 1: TPM für DFGs

## Erweiterte Kostenberechnung:

- Durchlauf des DFGs  $G$  von Quellen zu Senken
- Verwaltung eines Flags `visited[v]` pro Knoten von  $G$
- Rekursiver Besuch nachfolgender Knoten  $v'$  nur dann, wenn `visited[v']` nicht gesetzt

## Erweiterte Code-Generierung:

- Durchlauf des DFGs  $G$  von allen (potentiell vielen) Senken zu Quellen
- Verwaltung eines Flags `visited[v]` pro Knoten von  $G$
- Rekursiver Besuch nachfolgender Knoten  $v'$  nur dann, wenn `visited[v']` nicht gesetzt

# Diskussion von Ansatz 1

## Vorteile:

- Nach wie vor lineare Laufzeit-Komplexität
- Beibehaltung bisheriger Baum-Grammatiken
- Optimalität für DFGs und gewisse Klassen von Baum-Grammatiken

## Nachteile:

- Verfahren (ebenso wie reines TPM) schlecht geeignet für Prozessoren mit sehr heterogenen Registersätzen
- Verfahren (ebenso wie reines TPM) ungeeignet für Prozessoren mit Parallel-Verarbeitung

# TPM und Heterogene Registersätze

## Zerlegung von DFGs in DFTs:

- Sei  $T$  ein DFT, der eine CSE  $C$  berechnet;  $T'$  die DFTs, die  $C$  benutzen.
- Nach Überdeckung von  $T$  muß der für  $T$  generierte Code  $C$  irgendwo zwischenspeichern, und alle  $T'$  müssen  $C$  zur Benutzung aus dem Zwischenspeicher laden.
- Da  $T$  und  $T'$  völlig unabhängig voneinander überdeckt werden, kann während der Code-Generierung von  $T$  nicht berücksichtigt werden, wo die  $T'$   $C$  optimalerweise erwarten.
- Wenn  $T$   $C$  in einem Teil des heterogenen Registerfiles speichert,  $T'$   $C$  aber in einem anderen Teil erwartet, sind zusätzliche Register-Transfers notwendig!

# TPM und Parallele Prozessoren

## Additives Kostenmaß von Tree Pattern Matching:

- Kosten eines DFTs  $T$  mit Wurzel  $v$  sind Summe der Kind-Kosten plus Kosten für  $v$  selbst.
- *Action*-Teil für  $T$  erzeugt i.d.R. eine Maschinen-Operation
- *Erinnerung*: Parallele Prozessoren führen mehrere Maschinen-Operationen, die in einer Maschinen-Instruktion gebündelt sind, parallel aus.
- ☞ Additives TPM-Kostenmaß geht implizit davon aus, daß alle erzeugten Operationen rein sequentiell ausgeführt werden!
- ☞ Da TPM bei der Kostenberechnung nicht berücksichtigt, daß Operationen parallel zu Instruktionen gruppiert werden können, wird erzeugter Code schlechte parallele Performance haben!

## Ansatz 2: Genetische Code-Selektion

### Mögliche Alternativen bei Code-Generierung für DFGs:

- Ein DFG-Knoten kann durch mehrere alternative Maschinen-Operationen implementiert werden.
- Je nach gewählter Maschinen-Operation kann ein DFG-Knoten auf alternativen Funktionseinheiten ausgeführt werden.
- Je nach gewählter Operation und Funktionseinheit können Quell- und Ziel-Operanden des DFG-Knotens in verschiedenen heterogenen Registern liegen.
- Je nach gewählter Operation und Funktionseinheit können DFG-Knoten einzelnen Zeiteinheiten (*Kontrollschritten*) zugeordnet werden. Alle Operationen eines Kontrollschritts werden zu einer Instruktion gebündelt und parallel ausgeführt.

## Ansatz 2: Chromosom-Repräsentation

- **Jedes Gen eines Chromosoms repräsentiert genau einen DFG-Knoten  $v$ .**
- **Der Inhalt eines Gens codiert genau die möglichen Alternativen zur Code-Generierung für  $v$ :**
  - Die für  $v$  gewählte Maschinen-Operation
  - Die für  $v$  gewählte Funktionseinheit
  - Die für  $v$  gewählten Register
  - Der für  $v$  gewählte Kontrollschritt
  - ...

*[M. Lorenz, Performance- und energieeffiziente Compilierung für digitale SIMD-Signalprozessoren mittels genetischer Algorithmen, Jan 2003]*

## Ansatz 2: Variation

- **Crossover-Operator kann ungültige Individuen erzeugen**
- **Nach Crossover stattfindende Mutation führt ggfs. Reparaturen durch:**
  - Probabilistische Neubelegung einzelner Gene ungültiger Individuen
  - Herstellen der *Kantenkonsistenz*: Gewährleisten, daß Knoten  $v_1$  nur Register definiert, die datenabhängige Knoten  $v_2$  auch als Argument benutzen können.
  - Herstellen der *Knotenkonsistenz*: Gewährleisten, daß für jeden Knoten nur solche Quell- und Zielregister gewählt werden, die gemäß Prozessor-Befehlssatz legale Maschinen-Operationen darstellen.

## Ansatz 2: Fitness

- **Mehrkriterielle Fitnessfunktion:  
Parallele Ausführungszeit und Energieverbrauch**
- **Bewertung der parallelen Ausführungszeit:**
  - Zähle Anzahl verschiedener Kontrollschritte eines Individuums
- **Bewertung des Energieverbrauches eines Individuums:**
  - Summiere Basis- und Interinstruktionskosten aller Maschinen-  
Instruktionen eines Individuums
- **Fitness eines Individuums  $I$ :**
  - Gewichtete Summe von Ausführungszeit (Kontrollschritte) und  
Energieverbrauch:

$$fitness(I) = \omega_{cs} * cs_I + \omega_{en} * en_I$$

Gewichtung  $\omega$  gibt an, ob für Zeit oder Energie optimiert wird.

## Diskussion von Ansatz 2

### Vorteile:

- Ebenfalls lineare Laufzeit-Komplexität  
*(Anzahl der Iterationen des Genetischen Algorithmus konstant, Komplexität der Fitness-Funktion linear in Chromosom-Länge)*
- *Phasengekoppelte* Durchführung von Code-Selektion, Registerallokation und Scheduling
- Multikriterielle Optimierung (Ausführungszeit vs. Energie)

### Nachteile:

- Keine Aussage bezüglich Optimalität möglich
- Prozessor-Beschreibung nicht mehr in Form übersichtlicher Baum-Grammatiken möglich

# Literatur

## ■ **Tree Pattern Matching:**

- A. Aho, S. Johnson, *Optimal Code Generation for Expression Trees*, Journal of the ACM 23 (3), 1976.
- A. Aho, M. Ganapathi, S. Tjiang, *Code Generation Using Tree Matching & Dynamic Programming*, ACM ToPLaS 11 (4), 1989.
- *ICD-CG code generator generator*, [www.icd.de/es/icd-cg](http://www.icd.de/es/icd-cg), 2009.

## ■ **Graph-basierte Instruktionsauswahl:**

- M. Ertl, *Optimal Code Selection in DAGs*, Symposium on the Principles of Programming Languages, Jan 1999.
- M. Lorenz, *Performance- und energieeffiziente Compilierung für digitale SIMD-Signalprozessoren mittels genetischer Algorithmen*, Dissertation, Dortmund 2003.

# Zusammenfassung

- **Instruktionsauswahl**
  - Umsetzung eines DFGs durch zu erzeugendes Programm
  - Code-Generator-Generatoren
- **Tree Pattern Matching**
  - Zerlegung von DFGs in Datenfluß-Bäume
  - Linearzeit-Algorithmus zur optimalen Überdeckung von DFTs
  - Aufbau und Struktur von Baum-Grammatiken
- **Graph-basierte Instruktionsauswahl**
  - Tree Pattern Matching nur für reguläre Prozessoren gut
  - Erweiterungen betrachten irreguläre Architekturen
  - Phasenkopplung